

비틀림과 휨모멘트를 동시에 받는 균일斷面棒의 降伏條件에 관한 小考

이 종 석
토 목 공 학 과
(1985. 4. 30 접수)

〈요 약〉

一般的으로, 프레임(骨組構造物)의 材料的 非線形解釋을 하는 데는 降伏條件을 決定하는데 중요한 의미가 있다.

단일한 應力상태, 예컨대 축방향력, 휨모멘트, 비틀림, 전단력들중 하나만 작용할 때는 降伏條件을 決定하기가 쉽지만, 특히 이들이 2개이상 組合되어 作用할 때는 降伏條件을 決定하는 것이 쉽지 않다.

本 논문에서는 휨모멘트와 비틀림을 동시에 받는 骨組構造物에 있어서의 降伏條件에 대해서 變形硬化를 고려하여 연구하였다.

A Study on Yield Criteria of Uniform Bars Subjected to Twisting and Bending Moment.

Lee, Jong-Seok
Dept. of Civil Eng.
(Received April 30, 1985)

〈Abstract〉

Determination of the yield criteria generally becomes the major problems in material nonlinear analysis of the framed structures.

However determination of yield criteria under combined internal forces—axial force, bending moment, torsion, shearforce—is very difficult.

In this paper, the yield criteria of the framed structures under bending and twisting moment is studied considering the strain hardening effect.

I. 序 言

人間이 만드는 構造物들이 그 規模가 커지고 多樣化되면서, 土木工學에 있어서도 이와 같은 構造物들을 設計하고 解析하기 위한 塑性學이 發達되고 있다. 構造工學에 있어서 塑性力學의 범위는 構造物의 材料的非線形을 주로 다룬다.

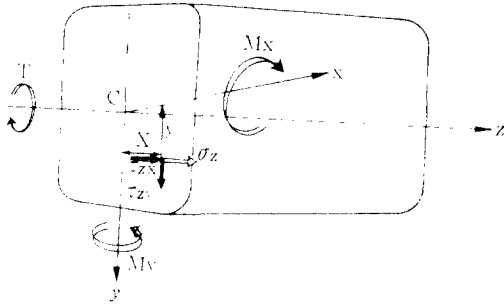
塑性理論의 역사를 간략히 살펴보면 Tresca (1864), Saint-Venant(1870), 및 Von Mises 등에 의해 塑性理論의 기본인 降伏條件과 應力變形率關

係式 등의 基本公式이 일반화 되었고, 1950년대에 Hill·R, Sokolovsky, Prager 와 Hodge 에 의해 塑性體의 應力場과 速度場에 있어서의 불연속이 일반화되고, 變分원리가 적용되었으며, 1960년대 이후에는 Computer의 대중적인 이용과 더불어 塑性力學의 이론도 많은 발전을 보이고 있다.

本 논문에서는 格子桁(Grid)의 彈塑性解析의 선결 조건인 비틀림과 휨모멘트를 동시에 받는 균일 단면봉의 항복조건에 관하여 속이 파악있는 경우와 속이 비어 있는 경우, 각각 변형경화를 고려하여 연구하여 보았다.

II. 휨모멘트와 비틀을 동시에 받는 속이
박찬 均一斷面棒에서의 降伏條件

균일하고 속이 박찬 斷面部材가 (그림 1)과 같이
휨모멘트 $M_x(M_y)$ 와 비틀 T 를 동시에 받는 경우
를 생각해 보자.



(그림 1)

部材의 斷面에 생기는 應力은 Z 軸方向的 垂直應
力 σ_x 와 비틀의 剪斷應力 τ_{xz}, τ_{xy} 가 支配的이기 때
문에 $\sigma_x, \sigma_y, \tau_{xy}$ 는 無視할 수 있다고 보자 이런 경
우 σ_x, τ_{xz} 및 τ_{xy} 의 組合應力에 對해서, 降伏條件과
Plastic Flow Rule에 기준한 解析을 行할 需要가
있다. 그러나 휨 모멘트와 비틀을 동시에 받는 中
實斷面에서는 一般的으로 彈塑性境界가 複雜하게 2
次元的으로 확대되어가고, 또 塑性域에 있어서의 剪
斷應力分布가 均일하지 않기 때문에, 그 解析解를
얻는다는 것은 조금 困難하다. 理論전계의 편의상
휨모멘트와 비틀을 각각 따로 받는다고 생각하자.

1. 휨모멘트만 받는 경우

먼저 휨모멘트에 대해서 생각해 보면 그림 1에서
보이는 쪽 단면에 있어서 x, y 軸 주위의 휨모멘트
増分 dM_x, dM_y 와 斷面 圖心點에서의 軸力 増分
 $dN(=0)$ 의 평형조건에서 다음 식을 만들 수 있다.

$$\begin{aligned} dN &= f d\sigma_x dA_0 = 0 \\ dM_x &= \int y d\sigma_x dA_0 \\ dM_y &= - \int x d\sigma_x dA_0 \end{aligned} \quad (1)$$

여기서, 座標 (x, y, z) 의 原點은, 斷面의 圖心 C
에 設置하고, x, y 軸을 主軸으로 한다. 圖心點 C의

변형을 増分을 $d\epsilon_x, x, y$ 軸주위의 曲率場分을 $d\phi_x,$
 $d\phi_y$ 로 하면, 斷面의 任意點 (x, y) 의 변형을 増分
 $d\epsilon_x$ 는, 近似的으로 平面保持의 假定을 이용하여

$$d\epsilon_x = d\epsilon_{e,x} + y d\phi_x - x d\phi_y, \quad (2)$$

또 Reuss의 應力 변형을 式은^{1),4)}

$$d\sigma_x = E d\epsilon_x - \frac{2}{3} E \sigma_x d\lambda \quad (3)$$

$$\begin{aligned} d\tau_{xz} &= 2G d\gamma_{xz} - 2G \tau_{xz} d\lambda \\ d\tau_{xy} &= 2G d\gamma_{xy} - 2G \tau_{xy} d\lambda \end{aligned} \quad (4)$$

로 표현된다. 여기서 降伏條件으로서 硬化形의 Mises
의 降伏條件^{1),4)}을 採用하면

$$\sigma_x^2 + 3(\tau_{xz}^2 + \tau_{xy}^2) = \sigma_{e,x}^2 \quad (5)$$

Plastic Flow가 존재 할때는 5式의 増式形이 成
立하기 때문에

$$\sigma_x d\sigma_x + 3(\tau_{xz} d\tau_{xz} + \tau_{xy} d\tau_{xy}) = \sigma_{e,x} d\sigma_{e,x} \quad (6)$$

硬化係數 H' 를 利用하면, $d\sigma_{e,x}$ 는

$$d\sigma_{e,x} = \frac{2}{3} H' \sigma_{e,x} d\lambda = H' d\epsilon_{e,x} \quad (7)$$

式(6)에 式(7)을 代입하고, 또 式(3), (4)을 利用하면
Plastic Flow 존재시의 $d\lambda$ 의 算定式이 다음과 같
은 式으로 求해진다.

$$d\lambda = \frac{3\{E\sigma_x d\epsilon_x + 6G(\tau_{xz} d\gamma_{xz} + \tau_{xy} d\gamma_{xy})\}}{2(H'\sigma_{e,x}^2 + E\sigma_x^2 + 9G(\tau_{xz}^2 + \tau_{xy}^2))} \quad (8)$$

式(1)에 式(3), (2)을 代入하고 圖心條件 $\int y dA_0 = 0,$
 $\int x dA_0 = 0$ 및 主軸條件 $\int x y dA_0 = 0$ 을 考慮하면, 다
음 式이 얻어진다.

$$\begin{aligned} dN &= EA_0(d\epsilon_{e,x} - d\epsilon_x^{(p)}) = 0 \\ dM_x &= EI_x(d\phi_x - d\phi_x^{(p)}), \\ dM_y &= EI_y(d\phi_y - d\phi_y^{(p)}) \end{aligned} \quad (9)$$

여기서,

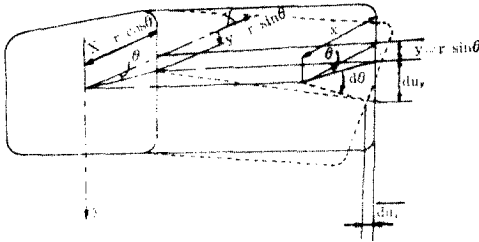
$$\begin{aligned} d\epsilon_x^{(p)} &= -\frac{2}{3A_0} \int A_0 \sigma_x d\lambda dA_0, \quad d\phi_x^{(p)} = -\frac{2}{3I_x} \int A_0 y \sigma_x d\lambda dA_0 \\ d\phi_y^{(p)} &= \frac{2}{3I_y} \int A_0 (-x) \sigma_x d\lambda dA_0 \end{aligned} \quad (10)$$

$$(\because (7)式에서 보면 d\epsilon_{e,x} = \frac{2}{3} \sigma_{e,x} d\lambda)$$

또, A_0 는 斷面積, I_x, I_y 는 x, y 軸에 관한 斷面 2
次 모멘트이고 $d\epsilon_{e,x}$ 및 $d\phi_x^{(p)}, d\phi_y^{(p)}$ 는 각각 圖心點의
塑性變形率 増分 및 x, y 軸에 관한 塑性曲率 増分
으로서, 彈性時에는 0가 되지만 塑性域의 發生時에
는 斷面分割法으로 數值積分에 의해 算定되는 量
이다.

2. 비틀만 받는 경우

다음에 비틀만을 받는 경우에 대해 생각해 보자.



(그림 2)

變形이 微小한 範圍에서는 비틀림角의 増分을 $d\theta$ 로 하면, (그림 2)에서 (2軸對稱斷面에서는, 비틀림의 중심은 도심에 一致한다).

$$\left. \begin{aligned} du_x &= dx = -(r \sin \theta) d\theta = -y d\theta \\ du_x &= dy = (r \cos \theta) d\theta = x d\theta \end{aligned} \right\} (11)$$

비틀림(Rate of Twist)의 増分을 dw 로 하면

$$dw = \frac{d\theta}{z} \quad (12)$$

가 되기 때문에, 式(11)은

$$du_x = -dwzy, \quad du_y = dwzx \quad (13)$$

또, z 軸方向의 斷面의 變位増分 du_z 가, 捩(Warping)의 増分 $d\Psi$ 로서 주어진다.

$$du_z = d\Psi \quad (14)$$

式(13), (14)의 斷面의 변형을 増分에 의해 생기는 剪斷변형율은 일반적인 變位増分の 적합조건으로부터

$$\left. \begin{aligned} 2d\gamma_{xz} &= \frac{\partial du_x}{\partial z} + \frac{\partial du_z}{\partial x} = \frac{\partial d\Psi}{\partial x} - dwy \\ 2d\gamma_{yz} &= \frac{\partial du_y}{\partial z} + \frac{\partial du_z}{\partial y} = \frac{\partial d\Psi}{\partial y} + dwx \end{aligned} \right\} (15)$$

으로 나타나진다. 式(4)에 式(15)의 $d\gamma_{xz}$, $d\gamma_{yz}$ 를 代入하면

$$\left. \begin{aligned} G\left(\frac{\partial d\Psi}{\partial x} - dwy\right) &= d\tau_{xz} + 2d\lambda G\tau_{xz} \\ G\left(\frac{\partial d\Psi}{\partial y} + dwx\right) &= d\tau_{yz} + 2d\lambda G\tau_{yz} \end{aligned} \right\} (16)$$

式(16)의 第1式을 y 로서, 第2式을 x 로 偏微分해서 빼면, 다음 式을 얻는다.

$$\begin{aligned} -2dwG &= \frac{\partial d\tau_{xz}}{\partial y} - \frac{\partial d\tau_{yz}}{\partial x} + 2G \frac{\partial}{\partial y} (d\lambda \tau_{xz}) \\ &\quad - 2G \frac{\partial}{\partial x} (d\lambda \tau_{yz}) \end{aligned} \quad (17)$$

여기서, 비틀림의 應力函數(Stress Function)를 다음과 같이 가정하면,

$$\tau_{xz} = \frac{\partial \Phi}{\partial y}, \quad \tau_{yz} = -\frac{\partial \Phi}{\partial x} \quad (18)$$

(17), (18)에서, 結局, 다음과 같은 $d\Phi$ 에 관한 非線形偏微分方程式이 얻어진다.

$$\begin{aligned} -2dwG &= \frac{\partial^2 d\Phi}{\partial y^2} + \frac{\partial^2 d\Phi}{\partial x^2} + 2G \frac{\partial}{\partial y} \left(d\lambda \frac{\partial \Phi}{\partial y} \right) \\ &\quad + 2G \frac{\partial}{\partial x} \left(d\lambda \frac{\partial \Phi}{\partial x} \right) \end{aligned} \quad (19)$$

式(19)에 있어서, $d\lambda = 0$ 로 놓으면, 周知의 彈性 비틀應力函數에 관한 基礎式이 된다.

$$-2dwG = \frac{\partial^2 d\Phi}{\partial y^2} + \frac{\partial^2 d\Phi}{\partial x^2} \quad (20)$$

式(19)는, 직접적으로 풀기가 곤란하기 때문에, 이것을 Matrix 형태로 고치면 一般적으로 다음과 같이 표현된다.

$$-2dwG[1] = [A][d\Phi] + G[dB] \quad (21)$$

여기서, $[A]$ 는 係數行列, $[dB]$ 는, 式(19)의 $d\lambda$ 와 Φ 를 포함하는 行列, $[1]$ 은 要素가 1이 되는 行列(상세한 것은, 文獻 15를 參照)이 된다.

式(21)에서,

$$[d\Phi] = -2dwG[A]^{-1}[1] - G[A]^{-1}[dB] \quad (22)$$

즉, 비틀 増分 dT 는, z 軸에 관한 모멘트의 평형 조건 式에 의해

$$dT = \iint (x d\tau_{xz} - y d\tau_{yz}) dx dy \quad (23)$$

式(23)에 式(22)을 代入한 뒤에 部分積分 하면.

$$\begin{aligned} dT &= -\iint \left(x \frac{\partial d\Phi}{\partial x} + y \frac{\partial d\Phi}{\partial y} \right) dx dy \\ &= -\iint \frac{\partial}{\partial x} (x d\Phi) dx dy - \iint \frac{\partial}{\partial y} (y d\Phi) dy dx \\ &\quad + 2\iint d\Phi dx dy \\ &= -\int (x_2 d\Phi_2 - x_1 d\Phi_1) dy - \int (y_2 d\Phi_2 - y_1 d\Phi_1) dx \\ &\quad + 2\iint d\Phi dx dy \end{aligned} \quad (24)$$

여기서, $d\Phi_2$, $d\Phi_1$ 는 任意的 y (혹은 x)에 對한 斷面兩端의 x (혹은 y) 값이, x_2 , x_1 (혹은 y_2 , y_1)가 되는 點의 $d\Phi$ 의 값이며, 비틀 應力에 無關係한 定數로서, 通常 0으로 놓을 수가 있으므로 dT 는 結局, 다음과 같이 나타난다.

$$dT = 2\iint d\Phi dx dy \quad (25)$$

따라서 dT 는 $d\Phi$ 의 曲面과 $x-y$ 平面에 둘러싸인 體積의 2倍인 것을 알 수 있다. 式(25)를 行列로써 表示하면

$$dT = [C][d\Phi] \quad (26)$$

式(26)에 式(22)를 代入하면, 비틀剛性(torsional

rigidity) GJ_0 를 이용하여 dT 와 dw 에 관한 식이 다음과 같이 구해진다.

$$dT = GJ_0(dw - dw^{(p)}) \quad (27)$$

$$\left. \begin{aligned} J_0 &= -2[C][A]^{-1}[1] \\ dw^{(p)} &= [C][A]^{-1}[dB]/J_0 \end{aligned} \right\} \quad (28)$$

3. 휨모멘트와 비틀림을 동시에 받는 경우

여기서, x 축에 대한 휨모멘트 M_x 와 T 가 동시에 작용하는 경우 x 축에 대한 곡률응분 $d\phi_x$ 와 비틀림응분 dw 에 관하여 관계식을 유도해보면, 식(5) 즉 硬化形 Mises의 降伏條件과, 식(18)에서

$$\begin{aligned} \sigma_x &= \pm \sqrt{\sigma_{eq}^2 - 3(\tau_{xx}^2 + \tau_{yy}^2)} \\ &= \pm \sqrt{\sigma_{eq}^2 - 3\left(\frac{\partial\Phi}{\partial y}\right)^2 - 3\left(\frac{\partial\Phi}{\partial x}\right)^2} \end{aligned} \quad (29)$$

식(29)가 성립하고

식(3)과 식(19)에서, E, G , 값이 보통의 경우 다른 값들에 비해 크므로 각각

$$dx = \frac{3}{2} \frac{d\varepsilon_x}{\sigma_x} \quad (30)$$

$$-dw = \frac{\partial}{\partial x} \left(d\lambda \frac{\partial\Phi}{\partial x} \right) + \frac{\partial}{\partial y} \left(d\lambda \frac{\partial\Phi}{\partial y} \right) \quad (31)$$

이 성립하고, 식(31)에 식(30)을 代入하면

$$-dw = \frac{3}{2} \left\{ \frac{\partial}{\partial x} \left(\frac{d\varepsilon_x}{\sigma_x} \frac{\partial\Phi}{\partial x} \right) + \frac{\partial}{\partial y} \left(\frac{d\varepsilon_x}{\sigma_x} \frac{\partial\Phi}{\partial y} \right) \right\} \quad (32)$$

또 식(2)에서 $d\varepsilon_x = 0$, $d\phi_x = 0$ 이므로

$$d\varepsilon_x = y d\phi_x \quad (33)$$

식(33)과 식(29)를 식(32)에 代入하면 다음 식이 구해진다.

$$\begin{aligned} & \frac{\partial}{\partial x} \left\{ \frac{y \frac{\partial\Phi}{\partial x}}{\sqrt{\frac{\sigma_{eq}^2}{3} - \left(\frac{\partial\Phi}{\partial x}\right)^2 - \left(\frac{\partial\Phi}{\partial y}\right)^2}} \right\} \\ & + \frac{\partial}{\partial y} \left\{ \frac{y \frac{\partial\Phi}{\partial x}}{\sqrt{\frac{\sigma_{eq}^2}{3} - \left(\frac{\partial\Phi}{\partial x}\right)^2 - \left(\frac{\partial\Phi}{\partial y}\right)^2}} \right\} \\ & = \pm \frac{2dw}{\sqrt{3} d\phi_x} \end{aligned} \quad (34)$$

즉, M_x 와 T 가 일정한 비율을 유지하면서 증가하는 동안 $d\phi_x$, dw 및 σ_x 사이에는, 식(34)가 성립해야 한다는 조건하에서 식(9) 및 식(27)을 有限要素法이나 有限差分法을 이용하여 풀 수 있다. 즉 휨모멘트와 비틀림을 동시에 받는 축이 軸端 부재의 變형경화를 고려한 解析이 가능하다. 그런데, 여기서 變形

硬化率이 Mild Steel의 경우 $H' = 0.01$ 즉 근사적으로 0으로 볼 수 있다는 조건과 식(21), 식(22)등을 이용하던 다음에 나오는 식(43)이 나오는데, 변형경화율을 무시한다면 위방법 보다는 M, M_f, T, T_p 사이에 간단한 관계문 다음과 같이 발견할 수 있다
純비틀림을 받는 경우에서 $\sigma_x = 0$ 이 되기 때문에 $d\lambda$ 와 σ_{eq} 는, 각각 식(5), (8)에 의해

$$\begin{aligned} d\lambda &= \frac{3G(\tau_{xx} d\gamma_{xx} + \tau_{yy} d\gamma_{yy})}{(H' + 3G)(\tau_{xx}^2 + \tau_{yy}^2)}, \\ \tau_{xx}^2 + \tau_{yy}^2 &= \frac{1}{3} 3\sigma_{eq}^2 \end{aligned} \quad (35)$$

가 되고, 여기서 $H' = 0$ 가 되는 完全彈塑性材料를 假定하므로

$$d\lambda = \frac{3}{\sigma_y^2} (\tau_{xx} d\gamma_{xx} + \tau_{yy} d\gamma_{yy}), \quad \tau_{xx}^2 + \tau_{yy}^2 = \frac{1}{3} \sigma_y^2 \quad (36)$$

가 되고, (36)의 第2式에 식(18)을 代入하면, 다음의 관계식이 얻어진다.

$$\begin{aligned} |\tau| &= \sqrt{\tau_{xx}^2 + \tau_{yy}^2} = \sqrt{\left(\frac{\partial\Phi}{\partial y}\right)^2 + \left(\frac{\partial\Phi}{\partial x}\right)^2} \\ &= |\text{grad}\Phi| = \frac{\sigma_y}{\sqrt{3}} = \tau, \end{aligned} \quad (37)$$

즉, 塑性域에 있어서 合剪斷力은 一定值 τ ,가 되고, 또, 應力函數는 一定勾配 τ ,의 曲面으로 주어지는 것을 알 수 있다.

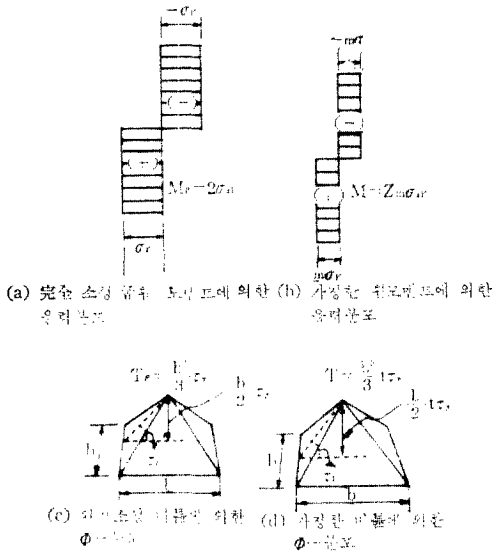
여기서, 이와 같은 非硬化材料의 部材가, 全斷面이 完全塑性應力狀態가 된 경우를 생각해 보자. 全斷面에서 식(31)이 成立하기 때문에, 예를 들면 長方形斷面의 應力函數 Φ 는, 4周邊에서 一定勾配를 가지는 (그림 3-c)와 같은 지붕의 形狀이 된다.

이때 完全塑性 비틀림 T_p 는 지붕과 底面에 둘러 쌓인 體積의 2배($v_o = \frac{1}{2} \times \frac{b\tau_y}{2} \times b \times (h-b) + \frac{1}{3} \times \frac{b\tau_y}{2} \times b \times b$)로 주어진다. 즉,

$$T_p = 2v_o = \frac{1}{2} hb^2 \left(1 - \frac{b}{3h}\right) \tau, \quad (38)$$

여기서, M, T, M_p, T_p 와의 관계를 보다 간단한 과정을 통해서 알기 위해서, M 에 의해서 $\sigma_x (=m\sigma_y)$ T 에 의해서 $\tau_x (=t\tau_y)$ 를 동시에 받고 있는 正方形斷面을 생각하고 그 應力 상태를 알아보기 쉽게 하기 위해서 (그림 3)을 보면, 여기서 合剪斷應力 $\tau_x^2 = \tau_{xx}^2 + \tau_{yy}^2$,이 斷面에 沿하여 一樣하게 分布하는 것으로 하고, 각각의 값을 어떤 一定 파라메타 m, t 를 이용하여

$$\begin{aligned} \sigma_x &= m\sigma_y, \\ \tau_x &= t\tau_y = \frac{t}{\sqrt{3}} \sigma_y \end{aligned} \quad (39)$$



(그림 3)

로 하여, 假定한 σ_s, τ_s 은 非硬化材料에서의, Mises의 降伏條件을 滿足한다.

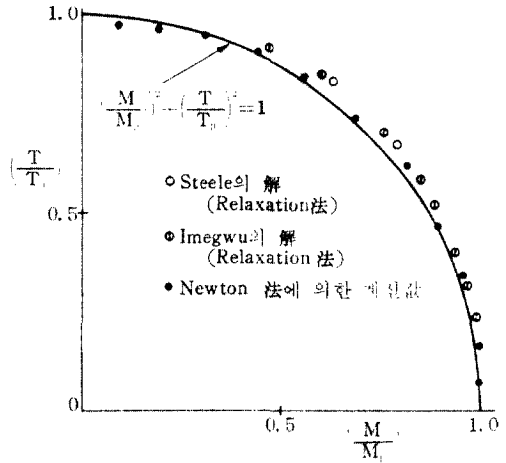
즉,

$$\sigma_s^2 + 3\tau_s^2 \leq \sigma_s^2 \quad (40)$$

式(39), (40)에 차 다음과 같은 無次元式을 얻는다.

$$m^2 + t^2 \leq 1 \quad (41)$$

式(33)에서 假定한 應力分布에서 얻어진 휨 모멘트 (그림-3(b))과 비틀(그림-3(d))과, 純塑性 모멘트



(그림 4)

및 純塑性비틀 T_s 와의 關係는, 각자

$$\begin{aligned} M &= m M_s \\ T &= t T_s \end{aligned} \quad (42)$$

式(41)에 式(42)를 代入하면 다음과 같은 式(37)이 유도 된다는 것을 쉽게 알 수 있다.

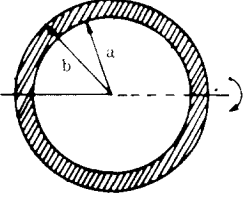
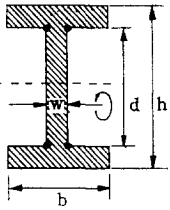
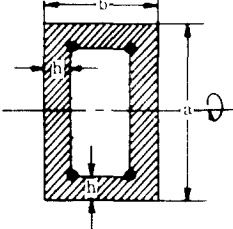
$$\left(\frac{M}{M_s}\right)^2 + \left(\frac{T}{T_s}\right)^2 = 1 \quad (43)$$

(그림 4)는 差分法에 의해 正方形斷面(9×9分割)에 對한 Steele 이나 Imegwu의 Relaxation法에 의한 解 및 Newton法에 의해 求한 結果를 각각 보인 것이다. 이로써 正解值(黑點)과 잘 一致 하는 것을 알 수 있다.

이상에 의거하여 다음과 같은 表를 만들 수 있다.

(表 1) 各種斷面の T_s, T_s' 值

斷 面 形	$\frac{T_s}{\tau_s}$	$\frac{T_s'}{\tau_s}$
	$h \geq b$ 일때 $k_1 b^2 h$ (注) $\frac{h}{b} = 1$ 일때 $k_1 = 1.67$ $\frac{h}{b} = 2$ 일때 $k_1 = 1.96$ $\frac{h}{b} = 5$ 일때 $k_1 = 2.32$	$\frac{b^2 h}{2} \left(-1 \frac{b}{3h} \right)$

斷 面 形	$\frac{T_Y}{\gamma_Y}$	$\frac{T_P}{\tau_Y}$
	$\frac{\pi(b^4 - a^4)}{2b}$	$\frac{2\pi}{3}(b^3 - a^3)$
	<p>(注) 隅角部に 應力集中이 생김, 彈性限界는 明確하지 않음.</p>	$\frac{w^3}{6} \ln \frac{h-d}{w} + \frac{5w^3}{36} + \frac{b}{4} \frac{(h-d)^2 + \frac{dw^2}{2}}{24} - \frac{(h-d)^3}{24}$
	<p>(注) 隅角部に 應力集中이 생김, 彈性限界는 明確하지 않음.</p>	$2h^2 \left(a \cdot b - \frac{8}{3} h \right) - 4h(a-2h)(b-2h)$ <p>薄肉斷面에서는, 윗식은 $2h[ab - h(a-b)] \approx 2abh$</p>

Ⅲ. 휨모멘트와 비틀을 받는 얇고 속이빈
均一斷面棒에 있어서의 降伏條件

鋼管과 같은 얇은 圓管斷面에 있어서는, 斷面에 따라서 생기는 剪斷應力이 두께 方向에 따라 一樣하다고 볼 수 있으므로, 解析은 다음과 같이 행할 수 있다.

그림 5에 보인 바와 같은 圓管斷面部材에서는 圓周方向의 剪斷변형률 増分 $d\gamma_\theta$ 는 斷面の Warping 함수(뒹)를 ϕ 로 하면, 式 15에 準한 다음 式을 얻는다.

$$2d\gamma_\theta = \frac{\partial d\phi}{\partial s} + dw\tilde{a} \quad (44)$$

단, \tilde{a} 는 圓管두께中心의 半徑, S 는 圓周에 沿하는 座標軸이고 dw 는 비틀음의 増分이다. 圓管斷

面에서 생각해야 할 應力成分은, 圓周方向의 剪斷應力 τ_θ 와 垂直應力 σ_z 뿐으로서, Reuss의 應力 변형률 式^{1,4)} 및 Mises의 降伏條件式은, 각각

$$d\sigma_z = Ed\epsilon_z - \frac{2}{3}\sigma_z Ed\lambda, \quad (45)$$

$$d\tau_\theta = 2Gd\gamma_\theta - 2G\tau_\theta d\lambda, \quad (46)$$

$$\sigma_z - 3\tau_\theta^2 = \sigma_{z0}^2 \quad (46)$$

또, $d\lambda$ 는 式(8)에 準하는 다음 式으로 주어진다.

$$d\lambda = \frac{3(E\sigma_z d\epsilon_z + 6G\tau_\theta d\gamma_\theta)}{2(H'\sigma_{z0}^2 + E\sigma_z^2 + 9G\tau_\theta^2)} \quad (47)$$

즉, 圓管斷面の 휨 모멘트와 曲率의 關係式에 대해서는, 式(2), 式(9)가 그대로 성립한다.

한편, 비틀과 비틀음의 關係式은 다음과 같이 簡單히 유도된다. 즉, 뒹함수 ϕ 의 圓周方向의 s 의 全積分이 0이라는 條件에서

$$2 \oint d\gamma_\theta ds = \frac{\oint \partial d\phi}{\partial s ds} + dw\tilde{a} \oint ds = dw(2\pi\tilde{a}^2) \quad (48)$$

式(48)의 左邊에 式(45)의 第 2式을 代入함으로써

$$\oint \left(\frac{d\tau_\theta}{G} + 2\tau_\theta d\lambda \right) ds = dw(2\pi\bar{a}^2)$$

두께가 一樣하다고 하면, 應力の 평형조건에서 剪斷應力 τ_θ 는 管의 全周에 沿하여 一樣하기 때문에, 塑性비틀림을 増分 $dw^{(p)}$ 를 利用하여

$$dw = \frac{d\tau_\theta}{G\bar{a}} + \frac{\tau_\theta}{\pi\bar{a}^2} \oint d\lambda ds = \frac{d\tau_\theta}{G\bar{a}} + dw^{(p)} \quad (49)$$

또, 비틀림 増分 dT 는, Z 軸에 關한 평형조건 式에서

$$dT = \oint d\tau_\theta \bar{a} h ds = d\tau_\theta \bar{a} h \oint ds = d\tau_\theta (2\pi\bar{a}^2 h) \quad (50)$$

式(50)에 式(49)을 代入하여 純비틀림의 경우 彈性비틀림강성 $GJ_0 = 2\pi\bar{a}^3 h G$ 을 利用하면, $dT \sim dw$ 式이 다

음과 같이 구해진다.

$$dT = GJ_0(dw - dw^{(p)})$$

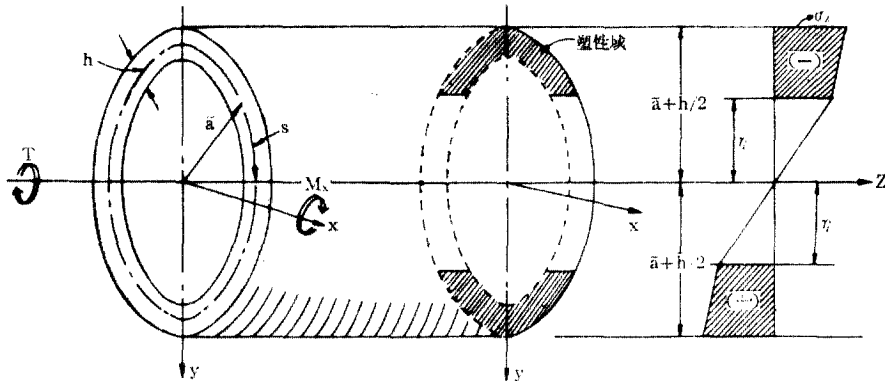
$$dw^{(p)} = \frac{\tau_\theta}{\pi\bar{a}^2} \oint d\lambda ds \quad (51)$$

材料가 非硬化材料의 경우에는, τ_θ 가 管의 全周에 沿하여 一樣하게 된다.

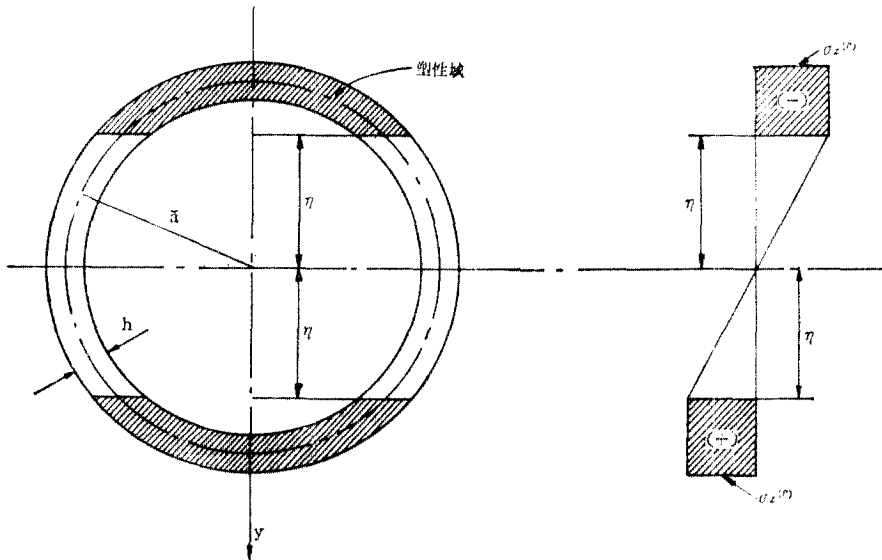
따라서, 塑性域의 垂直應力 $\sigma_z^{(p)}$ 도, Mises 條件에서,

$$\sigma_z^{(p)} = \pm \sqrt{3} \cdot \sqrt{\tau_\theta^2 - \tau_\theta^0} = \text{const}$$

가 된다. 이때, 彈塑性境界를 $y = \pm \eta$ 로 하면, 그림 6에서,



(그림 5)



(그림 6)

$$\left. \begin{aligned} y) \leq \gamma: \sigma_x = \sigma_x^p \frac{y}{\gamma} \\ |y| \leq \gamma: \sigma_x = \sigma_x^p = \pm \sqrt{3} \sqrt{\tau_y^2 - \tau_0^2} \end{aligned} \right\} \quad (52)$$

원 모멘트 M 과 비틀 T 은

$$M = \frac{2\sigma_x^p}{\gamma} \int_{-y}^y y^2 dA_0 + 2\sigma_x^p \int_{-y}^y y dA_0 \quad (53)$$

$$T = \int_{-y}^y \tau_y \tilde{u} h ds = 2\pi \tilde{a}^2 h \tau_y \quad (54)$$

특히, 完全塑性應力狀態일 때는, $\gamma \rightarrow 0$ 으로 놓으면, 式(19)의 圓柱斷面係數를 이용하여

$$M = \sigma_x^p z - \sigma_y z \frac{\sigma_x^p}{\sigma_y} = M_p \frac{\sigma_x^p}{\sigma_y} = M_p \sqrt{1 - \left(\frac{\tau_y}{\sigma_y}\right)^2} \quad (55)$$

따라서, 圓柱斷面係數가 $T_p = 2\pi \tilde{a}^2 h \tau_y$ 로 나타나기 때문이다. 式(52)는

$$T = 2\pi \tilde{a}^2 h \tau_y \frac{\tau_y}{\sigma_y} = T_p \frac{\tau_y}{\sigma_y} \quad (56)$$

式(55)와 式(56)을 代入하면, 圓柱斷面에 對한 원 모멘트와 비틀의 關係의 閉合형 式의 形식조건식이 다음과 같이 求해 된다.

$$\left(\frac{M}{M_p}\right)^2 + \left(\frac{T}{T_p}\right)^2 = 1 \quad (57)$$

V. 結 言

1. 圓柱斷面과 비틀을 同時に 考慮하는 軸이 軸을 受ける 構造物에 對한, 有限要素法이나 有限要素法으로 降伏條件을 決定할 수 있는 式(9) 및 式(27)을 유도해 보았다.

2. 軸이 受ける 圓柱 斷面係數가 圓모멘트와 비틀을 동시에 受ける Mild Steel 材의 變形硬化率을 定量的으로 0으로 볼 수 있다.

이때, σ_x 와 τ_y 로 表해지는 Von Mises의 降伏條件式을 원모멘트 M 과 비틀 T 의 關係式으로 유도할 수 있는데, 본 논문에서는 비틀($T < T_p$)만이 작용할 때의 응력(σ_{xx} , σ_{yy}) 분포(Roof Analogy)와 원모멘트(M 및 M_p)만이 작용할 때의 응력(σ_x) 분포와의 상호관계를 二階層으로써 유도해 보았다.

3. 다른 斷面과 같은 閉斷面 均一斷面棒이 圓모멘트와 비틀을 同時に 受ける 경우는 變形硬化率을 0으로 보는 것과 式(37)과 같은 式으로 나타나는 것을 Reuss의 應力變형률 關係式을 利用하여 유도해 보았다.

4. 본 논문에서 유도된 式(9) 및 式(27)을 利用하여 strain hardening을 고려할 때의 降伏條件

의 問題를 실제적으로 해결할 수 있는 computer program의 개발이 必要하다.

참 고 문 헌

1. Hill, R: "The MetheMatical Theory Elasticity", Oxford at the Clarendon Press 1950.
2. Sokolovsky, V.V: "塑性學(大橋義夫譯)" 朝倉書店, 1959.
3. FOULKES, J, "Minimum Weight Design and Theory of Plastic collapse", Quart. Appl Math. 10, 1953.
4. 山田嘉昭: "塑性力學", 日刊工業新聞社, 82.
5. 橫道英雄: "彈塑性新論", 技報堂, 79, 2.
6. B.G. Neal: "The Plastic Methods of Structural Analysis", New York, John Wiley & Sons, Inc.
7. Jacques Heyman: "Plastic Design of Frames 2", Cambridge 1971.
8. M. k. Horne and L. J. Morris: "Plastic Design of Low-Rise Frames", Granada 1981.
9. Beedle, L. S.: "Plastic Design of Steel Frames", John Wiley & Sons, New York, 1958.
10. Hodge: "Plastic Analysis of Structures", McGraw-Hill, 1959.
11. K. I. Majid: "Non-Linear Structures", London Butter worths, 1972.
12. Livesley, R. K.: "Matrix Methods of Structural Analysis", Pergamon Press, Oxford, 1964.
13. Zienkiewicz, O. C: "The Finite Element Method 3rd. ed", McGraw-Hill Book Company London.
14. Jennings, A. and Majid, K.: "An Elastic Plastic Analysis by Computer for Framed structures loaded up to collapse", The Structural Engineer, DEC, 1965.
15. 大田俊昭・日野伸一: "曲げとねじりモーメントを受ける一様な長方形斷面棒の 彈塑性解析", 土木學會論文報告集, 第285號, p. 37, 1979.
16. 宇佐美勉: "軸力, 曲げおよびねじりを受ける薄皮閉斷面の 降伏後の 挙動", 土木學會論文報告集, 第220號, p. 9, 1973.
17. 兒嶋弘行平尾潔・平面剛, "管節構造物 自動極限

- 解析”, 土木學會論文報告集, 第218號 1973. 10. 19. Imegwu, E. O. ; “Plastic Flexure and Torsion
18. Steele, M.C. ; “The Plastic Bending and Jour. Mech. Phys. Solids. Vol.8, p.141
Twisting of Square Section Members”, Jour. 1960.
Mech. Phys. Solids, Vol.3, p.156, 1954.

∴ 後 記

本 研究는 現代研究費의 지원에 의해 이루어 졌습니다.
지면을 빌어 감사의 말씀을 건넵니다.